



# شانزدهمین سمینار ملی مهندسی سطح

بهمن ماه ۱۳۹۴

انجمن علم و تکنولوژی سطح ایران

## جلوگیری از اکسیداسیون سطحی پودر منیزیم توسط بهینه سازی در فرایند آسیاکاری با غوطه وری در اتیلن گلیکول

علیرضا رضایی<sup>۱</sup>, ایمان مباشرپور<sup>۲</sup>, سید محمد مهدی هادوی<sup>۳</sup>, ابراهیم جباری<sup>۴</sup>

<sup>۱</sup>. پژوهشگاه مواد و انرژی (دانشجوی کارشناسی ارشد)

<sup>۲</sup>. پژوهشگاه مواد و انرژی (استادیار)

<sup>۳</sup>. دانشگاه مالک اشتر(دانشیار)

<sup>۴</sup>. پژوهشگاه مواد و انرژی (کارشناس آزمایشگاه)

### چکیده

منیزیم فلزی است که به دلیل خواص منحصر به فرد خود امروزه کاربردهای بسیاری در صنایع هواپی، خودرو سازی، الکترونیک و پزشکی پیدا کرده است. مشکل اصلی در استفاده از این فلز میل واکنش پذیری بالای آن در برابر اکسیژن و رطوبت است که در نتیجه منجر به تغییر خواص می‌گردد. به همین منظور روش‌های متعددی برای ایجاد مقاومت شیمیایی و اصلاح سطحی در سیستم پودری آن صورت گرفته است. از جمله روش‌های شیمیایی و الکتروشیمیایی که با ایجاد یک لایه محافظه و بی اثر بر روی سطح ذرات پودری منیزیم و از بین بردن تماس مستقیم با اکسیژن و مواد دیگر سعی در بهبود عملکرد قطعات، بدنه‌ها و پوشش‌های سرپایه منیزیم نموده اند. در این پژوهش پودرهای منیزیم با ابعاد میکرومتری توسط فرایند آسیاکاری همراه با غوطه وری در اتیلن گلیکول جهت جلوگیری از اکسیداسیون سطحی بهینه‌سازی گردید. همچنین از تکیک پراش پرتو ایکس XRD به منظور بررسی ساختار فازی و تأیید حضور فازهای مطلوب در ترکیب و میکروسکوپ الکترونی روی SEM برای ارزیابی مورفولوژی و توزیع اندازه ذرات استفاده گردیده و در نهایت پودر منیزیم با کاهش اندازه میانگین ذرات از ۱۰۰ به ۰ امیکرومتر بدون ایجاد لایه اکسیدی در سطح تهیه و مشاهده گردید.

واژه‌های کلیدی: پودر منیزیم، آسیاکاری، اتیلن گلیکول، کاهش اندازه ذرات، اکسیداسیون سطحی.

<sup>۱</sup>. Alireza68rezaei@gmail.com

امروزه از روش آسیاکاری جهت اهداف مهم تری علاوه بر کاهش ابعاد ذرات برای تهیه مواد با خواص فیزیکی و مکانیکی مطلوب تر و در واقع مواد جدید مهندسی استفاده می شود به طور کلی آسیاکاری مکانیکی فرآیندی است که در آن پودری تحت تأثیر برخوردهای پر انرژی بین اجزای آسیا (گلوله ها و محفظه) قرار می گیرد [1]. در اوخر سال ۱۹۶۰ آسیاکاری پلیمر ها نیز با پوشش دهنی پودرهای فلزی توسط پلیمر مورد استفاده واقع شد. همچنین آسیاکاری مکانیکی روشنی مناسب به منظور تهیه نانوپودرها به صورت پایدار و نیمه پایدار در دمای اتاق محسوب می شود. مهم ترین مزیت این روش قابلیت تولید پودر در مقیاس صنعتی است [2].

منیزیم دارای نقطه ذوب  $650^{\circ}\text{C}$  است. استحکام آن خیلی کم و در مقابل اکسیداسیون و خوردگی از مقاومت پایینی برخوردار است. منیزیم به صورت برآده، پودر و در حالت مذاب تحت تأثیر عوامل جوی به سرعت می سوزد. به همین دلیل باید سطح آن ها را با قشری محافظ پوشش داده و از واکنش منیزیم در حضور رطوبت و یا اکسیژن که به ترتیب به هیدروکسید منیزیم (رابطه ۱) و اکسید منیزیم (رابطه ۲) تبدیل می شود، جلوگیری نمود.



منیزیم در صنعت به صورت های مختلف خالص، اکسید منیزیم و آلیاژ کاربرد دارد. منیزیم خالص به دلیل استحکام کمی که دارد در صنعت برای ساخت قطعات صنعتی مورد استفاده قرار نمی گیرد و از آنجا که این فلز به راحتی می سوزد و نور درخشانی از خود منتشر می کند به عنوان بمب های آتش زار، سوخت جنگ افزارها، تصویربرداری نظامی استفاده می شود [3]. همچنین در فیلرهای پیرو توکیکی که در تولید نورافشان های فریب دهنده حسگرهای حرارتی که از هواییما به بیرون پرتاب شده و سبب فریب موشک ردیاب و فریب آن ها به سمت نورافشان می شوند کاربرد وسیعی پیدا نموده اند، بدین صورت که این سیستم ها به دلیل سهولت در جایه جایی ساخت آسان، سهولت در عملکرد منحرف نمودن موشک و ارزان بودن اجزای تشکیل دهنده آن ها می باشد امکان قابلیت نصب بر روی هواییما، ناوها، تانک ها را دارد [4]. فلز منیزیم به عنوان یک فلز صنعتی مزایای جالیی نسبت به سایر فلزات صنعتی نظیر آلومینیوم و فولاد در قطعات صنایع هوایی و خودرو سازی دارد. منیزیم دارای وزن بسیار کمی بوده به طوری که چگالی آن  $\frac{2}{3}$  چگالی آلومینیوم است. این فلز دارای بالاترین نسبت استحکام به وزن در میان تمام فلزات صنعتی است، قابلیت ماشین کاری بالا و دقت ابعادی مناسبی دارد. از منیزیم به عنوان یک فلز آلیاژی در آلیاژهای آلومینیوم و مس نیز به کار می رود [5]. با توجه به موارد گفته شده و مباحث اقتصادی به اهمیت حل مشکلات استفاده از منیزیم در صنایع مختلف مشخص می گردد. روش های متفاوتی برای جلوگیری از اکسیداسیون پودرهای منیزیم استفاده می گردد که بسته به کاربرد و نوع منیزیم مورد استفاده تغییر می یابد، برای مثال استفاده از اتمسفر خنثی، عملیات شیمیایی (برای مثال نیتروژن مایع گاز نیتروژن)،

روش‌های الکتروشیمیایی و ایجاد لایه منیزیم اکسید، آسیاکاری (تر، تحت خلا)، استفاده از پستر کرین، پوشش هیدرید، آندازیرینگ، پوشش تبدیل اکسیداسیون الکتروولیتی پلاسمای، پوشش اسپری حرارتی و پوشش پلیمر آلی و... می‌باشد [6,7]. روشی که برای ریزدانه کردن و جلوگیری از اکسیداسیون پودرهای منیزیم با اندازه ذرات در مقیاس نانو و میکرو انجام می‌گیرد همراه با مدنظر قرار دادن کاهش هزینه تولید، آسان بودن انجام فرایند، در دسترس بودن تجهیزات و مواد مصرفی به صورت بهینه کردن فرایند آسیاکاری با استفاده از غوطه‌وری پودر منیزیم در یک محیط مایع صورت می‌گیرد. در این پژوهش اتیلن گلیکول به منظور غوطه‌وری پودر منیزیم می‌باشد [7,8].

#### مواد و روش تحقیق

در این پژوهش از پودر منیزیم با متوسط اندازه دانه ۱۰۰ میکرومتر با خلوص ۹۹ درصد محصول شرکت مرک و به منظور جلوگیری از اکسیداسیون سطحی از اتیلن گلیکول با درجه خلوص ۹۹ درصد محصول شرکت مرک استفاده شد. برای توزین ترازوی با دقیق ۱/۰ میلی‌گرم مورد استفاده قرار گرفت. جهت بررسی مورفولوژی پوشش ایجاد شده دستگاه میکروسکوپ الکترونی رویشی SEM مدل Cambridge stereo scan (UK 360) و به منظور بررسی ساختار فازی و تعیین فازهای تشکیل شده، پراش پرتوی ایکس با دستگاه XRD مدل ۵۰۰-Siemens D-500 ساخت کشور آلمان به کار گرفته شد. آسیاکاری با استفاده از آسیاب سیاره‌ای با انرژی متوسط و در دمای محیط انجام گردید (شکل ۱). گلوله‌های مورد استفاده در این روش از جنس اکسید زیرکونیوم و به منظور ایجاد حداکثر ارتعاش و جلوگیری از غلبه نیروی گرانیز از مرکز از گلوله‌هایی با قطر متفاوت استفاده گردید. به منظور بالابردن مقاومت به سایش بالا و جلوگیری از ایجاد آلودگی، از محفظه زیرکونیایی استفاده شد. معمولاً برای جلوگیری از وارد شدن آلودگی به ترکیب پودر، در آسیاکاری محفظه و گلوله‌ها از یک جنس انتخاب می‌شوند. در قسمت آسیاکاری دستیابی به مواردی مانند پودر با اندازه ذرات یکنواخت و مورفولوژی کروی لازم به بررسی دقیق و انجام فرایند طبق دستور العمل‌هایی می‌باشد که در ادامه توضیح داده می‌شود.

مورد اول: در حالتی که از گلوله غیر هم جنس با محفظه استفاده شود ناخالصی‌هایی ناشی از برخورد گلوله و محفظه به دلیل متفاوت بودن خواص سایشی آنها وارد سیستم می‌شود به همین دلیل از گلوله و محفظه هم جنس استفاده گردید تا ناخالصی ناشی از برخورد گلوله و محفظه به حداقل برسد.

مورد دوم: به علت آن که انتخاب تعداد گلوله تاثیر قابل توجهی در کاهش اندازه ذرات و یکنواخت بودن گستره‌ی اندازه ذرات و انجام فرایند با کاهش اتلاف انرژی و زمان و کاهش ناخالصی‌های ناشی از آسیاکاری دارد. انتخاب بهینه تعداد گلوله‌های قابل استفاده بر اساس حجم محفظه صورت می‌گیرد. در (جدول ۱) تعداد گلوله‌های پیشنهادی نسبت به حجم ظرف ذکر شده است، مقادیر اشاره شده در (جدول ۱) حداقل مقادیر هستند و بسته به خواص ماده تحت آسیاکاری، امکان افزایش این مقادیر وجود دارد تا انتخاب بهتری انجام گیرد.

مورد سوم: استفاده از گلوله‌های با ابعاد یکسان نتایج مطلوبی را به همراه نداشته به این دلیل که گلوله‌های اکسیدی چگالی کمتری نسبت به گلوله‌های کاربید تنگستن دارد. به منظور بر طرف شدن این مشکل گلوله‌هایی با ابعاد مختلف برای افزایش انرژی ضربه بدون افزایش سرعت چرخش و کاهش مدت زمان آسیاکاری و در نتیجه کاهش اندازه ذرات تا مقیاس نانو مورد استفاده گرفت.

مورد چهارم: میزان پرکردن محفظه نیز از جمله عوامل موثر بر راندمان آسیاکاری است. مقادیر توصیه شده بر اساس ظرفیت محفظه در (جدول ۲) ارائه شده است. طبق این موارد هر چه نسبت گلوله به پودر افزایش می‌باید کاهش اندازه ذرات محسوس‌تر بوده و با انجام فرایند در زمان‌های کمتر توانسته نمونه پودری با مورفولوژی کروی مدنظر تولید کند که در کاربردهای متالورژی پودر و پایدارسازی بهتر میزیم در سوپاپسیون نقش مهمی را ایفا می‌کند. با توجه به موارد ذکر شده با افزایش زمان و چرخش آسیاکاری و استفاده از گلوله و محفظه یکسان و چگالی بالاتر، نتایج به مراتب بهتر دور از دسترس نمی‌باشد.

مراحل انجام فرایند به این صورت می‌باشد که با نسبت گلوله به پودر ۱:۱۳ از ۱۳ گلوله زیرکونیایی با اندازه‌های متفاوت استفاده شده و در ادامه پودر میزیم به محفظه اضافه شده و در حجم باقی‌مانده ظرف اتیلن گلیکول ( $C_2H_6O_2$ ) افزوده و عملیات آسیاکاری انجام گردید. در مرحله اول پودرها به مدت ۱۰ ساعت با دور  $310\text{ rpm}$  و در مرحله دوم به مدت ۲۰ ساعت با دور  $210\text{ rpm}$  تحت عملیات آسیاکاری قرار گرفته و سپس به منظور بررسی اکسیداسیون پودرهای آسیاکاری شده به مدت ۱۲ ساعت در خشک کن با دمای  $75^{\circ}\text{C}$  قرار داده تا تاثیر اولیه فرایند بررسی شود. پودرهای آگلومره شده ناشی از خشک شدن توسط هاون کوییده شده تا یکنواخت شوند. از آنجا که در تماس پودر با هوا، امکان واکنش پذیری افزایش می‌باید، آنالیزهای XRD و SEM تکرار می‌گردد. همچنین به صورت موازی پودرهای بدست آمده، در دماهای  $200^{\circ}\text{C}$  (دمای تحریر اتیلن گلیکول) و  $650^{\circ}\text{C}$  (دمای ذوب میزیم) تحت عملیات پخت به مدت ۳ ساعت قرار گرفته و آنالیزهای مذکور تکرار می‌گردد. لازم به ذکر است که گلوله‌ها و محفظه قبل از انجام فرایند به طور کامل با آب مقطر و الكل شستشو و خشک گردید.

## نتایج و بحث

### نتایج الگوی پراش اشعه ایکس

شکل ۲ الگوی پراش اشعه ایکس پودر میزیم خالص با اندازه ذره متوسط  $100\text{ میکرومتر}$  و الگوی مرجع پراش میزیم و پودر میزیم آسیاکاری خشک شده در دمای  $75^{\circ}\text{C}$  با اندازه ذره متوسط  $10\text{ میکرومتر}$  را نشان می‌دهد. با مقایسه الگوی میزیم خالص و مرجع این نتیجه حاصل می‌شود که پودر اولیه بدون هیچگونه فاز اکسیدی و هیدروکسیدی و دیگر فازهای میزیم بوده و تطابق سیار خوبی با الگوی مرجع داشته است. همچنین با مقایسه پودر اولیه و آسیاکاری شده پیک‌های ملائمی در موقعیت بین  $32^{\circ}$  و  $39^{\circ}$  مشاهده می‌شود که نشان دهنده وجود ماده‌ای آمورف می‌باشد که همان اتیلن گلیکول است که عامل بازدارنده فرایند اکسیداسیون بوده و بیانگر این

مهم می‌باشد که هنوز بعد از خشک شدن در دمای  $75^{\circ}\text{C}$  هیچگونه پیک که نشان‌دهنده وجود اکسید و هیدروکسید منیزیم باشد مشاهده نمی‌گردد.

شکل ۳ الگوی پراش اشعه ایکس پودر منیزیم آسیاکاری کوره گذاشته شده در دمای  $200^{\circ}\text{C}$  و پودر منیزیم آسیاکاری و کوره گذاشته شده در دمای  $65^{\circ}\text{C}$  را نشان می‌دهد. لازم به ذکر می‌باشد که دمای تبخیر اتیلن گلیکول  $200^{\circ}\text{C}$  و دمای ذوب منیزیم  $65^{\circ}\text{C}$  می‌باشد. همچنین با مقایسه پودر اولیه و  $200^{\circ}\text{C}$  پیک‌های تپه مانندی در موقعیت بین  $32^{\circ}$  و  $39^{\circ}$  مشاهده می‌شود که نشان‌دهنده وجود ماده ای آمورف می‌باشد که همان اتیلن گلیکول است که عامل بازدارنده اکسیداسیون بوده و بیانگر این مهم می‌باشد که هنوز بعد از کوره گذاشته شدن در دمای  $200^{\circ}\text{C}$  هیچگونه پیک که نشان‌دهنده وجود اکسید و هیدروکسید منیزیم باشد مشاهده نمی‌گردد. با مقایسه الگوی پودر  $200^{\circ}\text{C}$  و  $65^{\circ}\text{C}$ ، پیک‌های آمورف در الگوی  $65^{\circ}\text{C}$  دیده نشده و پیک‌های اکسید منیزیم و کمی منیزیم دیده می‌شود که بیانگر از بین رفتن عامل جلوگیری از اکسیداسیون می‌باشد.

با بررسی الگوهای پراش پودر باقیمانده حاصل از آسیاکاری به مدت ۳۰ ساعت این نتیجه حاصل می‌شود که به دلیل وجود اتیلن گلیکول در فرایند آسیاکاری مقاومت به واکنش پذیری پودر باقیمانده افزایش یافته و مخلوط پودر یکنواخت شده و پودر منیزیم با کاهش اندازه میانگین ذرات از  $100\text{ }\mu\text{m}$  به  $10\text{ }\mu\text{m}$  میکرومتر بدون ایجاد لایه اکسیدی در سطح ایجاد گردید. اتیلن گلیکول احتمالاً به صورت فیزیکی روی سطح ذرات منیزیم قرار گرفته است.

آنالیز انجام شده نقش اتیلن گلیکول را نمایان می‌کند، وقتی در محیطی بدون اکسیژن مثل اتیلن گلیکول منیزیم آسیاکاری شود دیگر اکسیژن یا رطوبتی موجود نمی‌باشد که با منیزیم واکنش دهد همچنین اکسیژن موجود در ساختار اتیلن گلیکول امکان واکنش با منیزیم را نداشته، به همین منظور از لحظه ترمودینامیکی به بررسی انجام واکنش (رابطه ۲) برای ۱ مول منیزیم از طریق بررسی انرژی آزاد گیس پرداخته می‌شود که طبق (رابطه ۳) بدست می‌آید و دارای سه حالت تعادلی، انجام واکنش و انجام ناپذیر بودن واکنش می‌باشد.

در حالت شرایط تعادلی، با فرض این که اکتیویته اجزا جامد خالص برابر با یک می‌باشد و انرژی آزاد کل برابر صفر بوده و طبق محاسبات فشار تعادلی اکسیژن بر اساس  $\Delta G^{\circ}$  واکنش (رابطه ۲) موجود در جداول ترمودینامیکی به صورت زیر بدست می‌آید (رابطه ۴).

$$\Delta G^\circ = -RT \ln \frac{a_{mgo}}{a_{mg} \cdot P_{O_2}^{1/2}}, \quad R = 8 / 13 \left( \frac{j}{mol \cdot K} \right), \quad T = 473^\circ K \quad (رابطه 4)$$

با در نظر گرفتن فرضیات رابطه ۵ بدست می آید:

$$\Delta G^\circ = -RT \ln \frac{1}{P_{O_2}^{1/2}} = RT \ln P_{O_2}^{-1/2} \quad (رابطه ۵)$$

در رابطه ۳ از طریق رابطه ۶، ۷، ۸ محاسبه کرده:  $\Delta G^\circ$

$$\Delta G_2^\circ = \Delta H^\circ - T\Delta S^\circ = -608.088 - (11.715 \ln T) + (4.602 \times 10^{-3} \times T^2) + (5.224 \times 10^5 / T) + 189.844T \quad (رابطه ۶)$$

$$\Delta H_2^\circ = -608.088 + 11.715T - (4.602 \times 10^{-3} \times T^2) + (10.447 \times 10^5 / T) \quad (رابطه ۷)$$

$$\Delta S_2^\circ = (11.715 \ln T) - (9.204 \times 10^{-3} T) + (5.224 \times 10^5 / T^2) - 178.129 \quad (رابطه ۸)$$

مقادیر انرژی آزاد استاندارد بر حسب  $\left(\frac{j}{mol}\right)$ ، فشار اکسیژن تعادلی بر حسب atm با جایگذاری دمای  $k = 473k$  در روابط بالا به شرح زیر می باشد:

$$\Delta G_2^\circ = -559400, \quad P_{O_2}^e = 10^{-1.34}$$

از طرفی طبق رابطه وانهوف رابطه ۸ مقدار  $\ln k_p$  بدست آورده، در رابطه ۳ جایگذاری نموده و  $\Delta G$  محاسبه گردید.

$$\frac{\partial \ln k_p}{\partial T} = \frac{\Delta H_2^\circ}{RT^2} \quad (رابطه ۸)$$

برای بررسی نحوه تاثیر فشار جزیی اکسیژن محیط و فشار اکسیژن تعادلی و اینکه واکنش اکسیداسیون در چه شرایطی انجام می شود می توان رابطه انرژی آزاد را به صورت زیر نوشت:

$$\Delta G_1 = \Delta G_4^\circ + RT \ln \frac{a_{mgo}}{a_{mg} \cdot P_{O_2}^{1/2}} \approx 8200 \quad (رابطه ۹)$$

که در رابطه ۹ فشار اکسیژن رابطه ۲ می باشد. با توجه به فرمول  $\Delta G$  سه حالت مختلف برای اکسیداسیون پیش می آید:

(۱) اگر  $P_{O_2}^e > P_{O_2}$  باشد، در نتیجه  $\Delta G > 0$  می شود و اکسیداسیون رخ نمی دهد.

(۲) اگر  $P_{O_2}^e < P_{O_2}$  باشد، آنگاه  $\Delta G < 0$  می شود و اکسیداسیون رخ نمی دهد.

اگر  $P_{O_2}^e = P_{O_2}$  باشد، در نتیجه  $\Delta G = 0$  می‌شود و واکنش اکسیداسیون در حالت تعادل است.

آنگاه فشار جزیی تجزیه اکسید منیزیم در دمای  $200^\circ\text{C}$  معادل  $10^{-124}$  اتمسفر می‌شود. یعنی پوششی که بر سطح منیزیم تشکیل می‌شود مانع از نفوذ اکسیژن به زیر آن حتی  $10^{-124}$  اتمسفر می‌شود. دیاگرام الینگهام نیز این اعداد را تایید می‌کند. دقت شود که در دیاگرام  $\Delta G^\circ$  بر حسب رُول بر مول برای  $2\text{MgO}$  است که در محاسبه فشار تجزیه اکسید مشکلی ایجاد نمی‌کند چرا که باید در محاسبه ضربی ۲ نیز لحاظ گردد. به طور فرضی در یک سیستم A شامل منیزیم با مول a و سیستم B شامل منیزیم با مول a و اتیلن گلیکول با مول b طبق قانون دالتون (رابطه ۱۰) مقدار مول اکسیژن سیستم B کمتر از سیستم A می‌باشد. فشار کل ثابت می‌باشد [11,12].

$$P_B = \frac{n_A}{n_A + n_B}$$

#### نتایج حاصل از میکروسکوپ الکترونی روبشی

همانطور که در شکل ۴ مشاهده می‌شود مورفولوژی پودرهای منیزیم به صورت شبه کروی و با اندازه ذرات ۱۰۰ میکرومتر بوده که نشان دهنده حالت پلاستیستیه ذرات فلزی می‌باشد. شکل ۵ نشان دهنده خردایش و کاهش اندازه ذرات و ایجاد مورفولوژی تیز و غلیظ بر حالت پلاستیک می‌باشد. با مقایسه شکل ۶ و شکل ۷ مشهود است که اندازه ذرات به میانگین ۱۰ میکرومتر کاهش یافته، ضمن اینکه ذرات به شکل آگلومره مشاهده می‌شود. به دلیل اکسیداسیون پودر آسیاکاری شده و کوره گذاشته شده در دمای  $65^\circ\text{C}$  این نمونه تحت آنالیز SEM قرار نگرفت.

شکل ۴ مورفولوژی و اندازه ذرات منیزیم قبل از آسیاکاری را نشان می‌دهد. به طور کلی در فرآیند آسیاکاری سه مکانیزم بر تغییرات مورفولوژی ذرات حاکم است که عبارتند از تغییر شکل پلاستیک، شکست و جوش سرد. در هر سه مرحله هر سه مکانیزم اتفاق می‌افتد اما غالبه‌ی هر یک از مکانیزم‌ها بر دیگری موجب تغییر مورفولوژی ذرات خواهد شد. شکل ۵ مورفولوژی نمونه‌ای شامل منیزیم و اتیلن گلیکول که به مدت ۳۰ ساعت آسیاکاری مکابیکی شده را نشان می‌دهد. همان طور که مشاهده می‌شود پس از ۳۰ ساعت آسیاکاری اندازه ذرات کاهش یافته است. تغییر شکل به همراه جوش خوردنگی ذرات به هم موجب می‌گردد تا محدوده وسیعی از ذرات ایجاد شود که در شکل ۵ و ۷ این نکته واضح است. در ادامه به دلیل کارسخت شدن ناشی از تغییر شکل پلاستیک ذرات، تعاملی به شکست زمانی دارد که می‌تواند این را در اثر اعمال ضربه در حین آسیاکاری توسط گلوله‌ها و برخورد با دیواره محفظه‌ها افزایش یافته و به همین دلیل اندازه ذرات به مرور زمان کاهش می‌باید و با گذشت زمان یکنواخت می‌گردد. غالب بودن مکانیزم شکست بر جوش سرد به وضوح در شکل ۵ و ۷ قابل مشاهده است. در فرآیند آسیاکاری، تغییر شکل پلاستیک موجب می‌گردد تا چگالی ناجایی‌ها افزایش یافته و در اثر اندرکنش بین ذرات و ناجایی‌ها، مرزهای فرعی به وجود آیند و با ادامه فرآیند آسیاکاری این مرزهای فرعی به مرزهای باز (بزرگ زاویه) تبدیل می‌شوند که در شکل ۸ این فرآیند نشان داده شده است [13]. با ادامه عملیات آسیاکاری

اگر چه ساختار بطور مداوم ریز می شود ولی اندازه ذرات ثابت می ماند. به علاوه فاصله بین لایه ای کاهش یافته و تعداد لایه ها در یک ذره پودر افزایش می باید [۱۴].

پس از برقراری تعادل بین جوش سرد و شکست، ذرات ریزتر دیگر شکسته نشده و به ذرات بزرگتر می پیوندد و ذراتی با اندازه متوسط بدست می آید. در این مرحله هر ذره دارای اجزای اولیه پودر و با همان نسبت ترکیب شده می باشد و ذرات به سختی اشاع شده خود در اثر ذخیره انرژی کرنشی می رستند. در ضمن تغییرات اندازه ذرات نیز محدود می باشد، زیرا ذرات بزرگتر از اندازه متوسط، اندازه شان کاهش می باید و ذرات کوچکتر از اندازه متوسط، آگلومره شده و بزرگتر می شوند. در روش آسیاکاری مکانیکی تغییر شکل های بسیار سنگین اتفاق می افتد. با حضور عیوب بلوری مانند نابجایی ها، جاهای خالی، نقص در چیده شدن اتمی و افزایش مرز دانه، وجود تغییر شکل های شدید سنگین تایید می شود. به علاوه عیوب بلوری موجود در ساختار، نفوذ عنصر محلول را در زمینه افزایش می دهند. همچنین تغییرات ریز ساختاری باعث کاهش فاصله نفوذ می شود و در ضمن افزایش دما باعث افزایش نفوذ شده که همه موارد اشاره شده باعث آلیاز سازی در دمای اتاق می شود. بعضی مواقع یک آبیل دمای بالا برای بدست آوردن ساختار مورد نظر، بخصوص زمانی که تشکیل ترکیبات بین فلزی مورد نظر باشد، لازم است. زمان لازم برای رسیدن به ساختار مورد نظر در هر سیستم تابع اندازه ذرات و رفتار اجزای تشکیل دهنده آن است [۱۴].

#### نتیجه گیری

- ۱) استفاده از عامل بازدارنده اکسیداسیون سطحی و یا تغییر شرایط آسیاکاری از خشک به تر برای جلوگیری از چسیدن پودر به گلوله و محفظه آسیاکاری و افزایش بازدهی آسیاکاری به شدت موثر است.
- ۲) به منظور جلوگیری از اکسیداسیون پودر منیزیم حين آسیاکاری، استفاده از اتیلن گلیکول پیشنهاد می شود.
- ۳) استفاده هم زمان عامل جلوگیری از اکسیداسیون و آسیاکاری تاثیر مثبت در فرایند داشته و حتی فرایند به صورت بهینه انجام گرفته است.

#### مراجع

1. C. Suryanarayana, "Mechanical alloying and milling", Progress in Materials Science, 46, 2001, 1-184
2. Julie Patricia Martin " An Investigation of the microstructure and properties of a cryogenically mechanically alloyed polycarbonate-poly(ether ether ketone)system doctor of philosophy" material science-virginia university, 10-50 ,2001
3. Conceicao, T. F."Corrosion Protection of Magnesium Alloy AZ 31Sheets by Spin Coating Process with Poly (ether imide)"Corrosion Science , 52, 2010, 2079-2066
4. Koch, E. C. "Review on Pyrotechnic Aerial Infrared Decoys" Propell Explos Pyrotechnics, 26, 2001, 3-11.

شانزدهمین سیمار ملی مهندسی سطح

5. Kulekci, Mustafa Kemal. "Magnesium and its alloys applications in automotive industry." *The International Journal of Advanced Manufacturing Technology*, 39.9-10 ,2008, 851-865.

**6** جی. ویرتی. بیستک ترجمه دکتر عبدالله افشار، پوشش های تبدیلی شیمیایی والکتروولیتی، ۱۳۷۹، موسسه

انتشارات علمی دانشگاه شریف.

7. Gupta, Manoj, and Nai Mui Ling Sharon. *Magnesium, magnesium alloys, and magnesium composites*. 2011, John Wiley & Sons.

8. Mordike, B. L., and Tü Ebert. "Magnesium: properties—applications—potential." *Materials Science and Engineering: A*, 302.1, 2001, 37-45.

۹. راندال ام جرمن. ترجمه ناصریان مجتبی حائریان اردکانی علی، علم متالورژی پودر، ۱۳۸۷، دانشگاه فردوسی

مشهد.

۱۰. سوریانارایانا . ترجمه غلامحسین اکبری، مجید تقیان دهاقانی، آلیارسانزی مکانیکی و آسیاب کاری، ۱۳۸۸،

انتشارات دانشگاه شهید باهنر کرمان

11. Gaskell, David R. *Introduction to the Thermodynamics of Materials*. 2008, CRC Press.

12. Rao, Y. Kris. *Stoichiometry and thermodynamics of metallurgical processes*. 1985,CUP Archive.

1۳. C.Suryanarayana, Prog. Mater. Sci. 46 (2001) 1-184

۱۴. M. Sherif El-Eskandarany, Mechanical alloying forFabrication of Advansed Engineering Materials, William Andrew Inc, New York, 2001

جدول ۱: تعداد گلوله های پیشنهادی نسبت به حجم ظرف [10]

بعاد گلوله (میلیمتر)	۸۰	۲۵۰	۵۰۰
بعاد گلوله (میلیمتر)			
۵	۲۵۰	۱۲۰۰	۲۰۰۰
۱۰	۳۰	۵۰	۱۰۰
۱۵	۱۰	۴۵	۷۰
۲۰	۵	۱۵	۲۵
۳۰		۶	۱۰
۴۰			۴

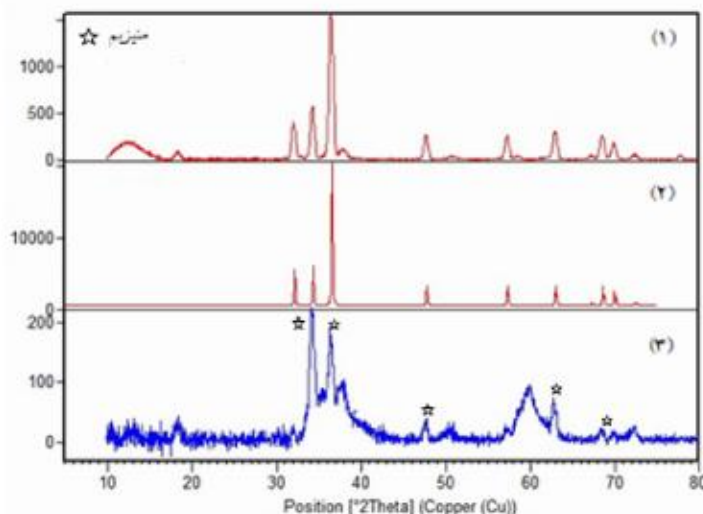
جدول ۲: مقدار بهینه پر کردن محفظه آسیاب کاری [10]

حجم محفظه (میلیمتری)	حداقل ظرفیت (میلی متر)	حداکثر ظرفیت (میلیمتر)
۵۰۰	۸۰	۲۲۵
۲۵۰	۳۰	۱۲۵
۸۰	۱	۳۰

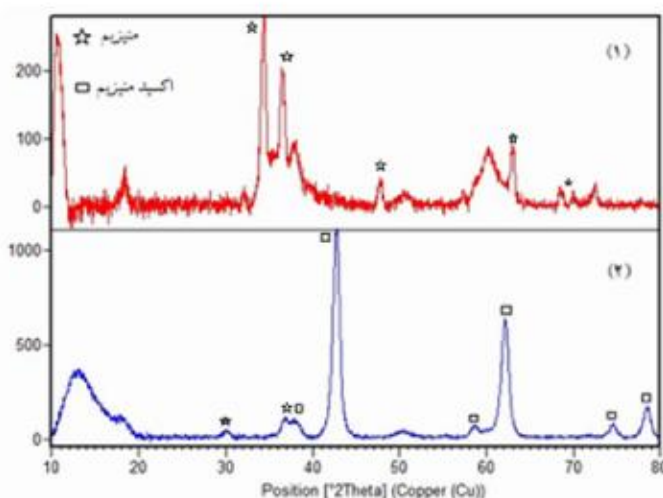
## جلوگیری از اکسیداسیون سطحی ..



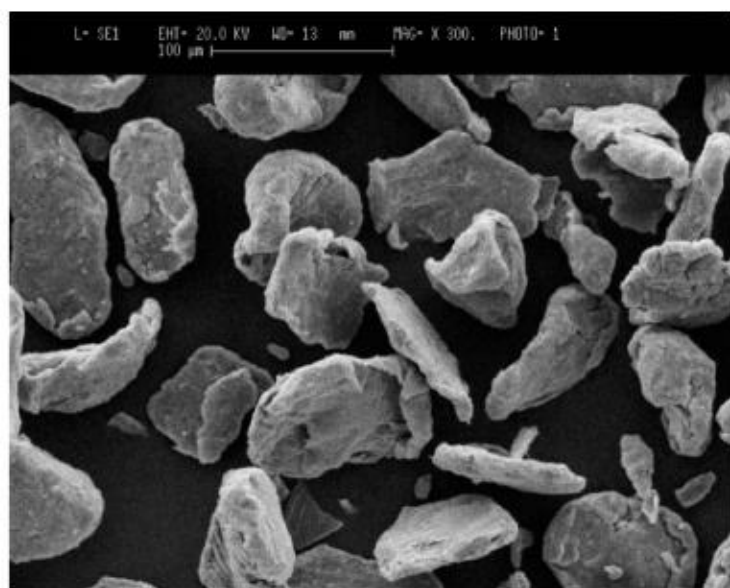
شکل ۱: (۱) یک نمونه از آسیاب سیارهای مجهز به چهار محفظه (۲) شماتیک عملکرد و نحوه حرکت اجزای آسیاب [10].



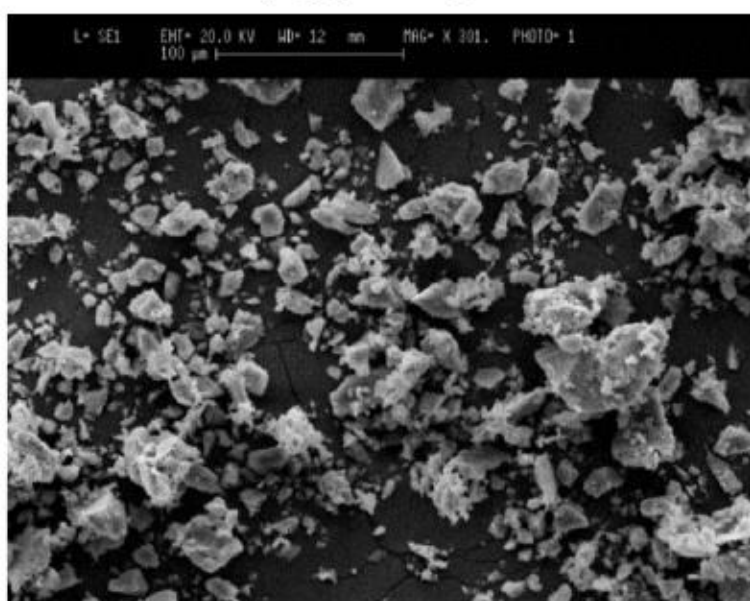
شکل ۲: الگوی پراش اشعه ایکس (۱) پودر منیزیم خالص با اندازه ذره متوسط ۱۰۰ میکرومتر (۲) الگوی مرجع پراش منیزیم (۳) پودر منیزیم آسیا کاری با نسبت وزنی گلوله به پودر ۱:۳۰ در زمان ۳۰ ساعت و دور ۳۰۰ rpm و خشک شده در دمای ۷۵°C با اندازه ذره متوسط ۱۰ میکرومتر



شکل ۳: الگوی پراش اشعه ایکس (۱) پودر منیزیم آسیاکاری با نسبت وزنی گلوله به پودر ۱:۳۰ در زمان ۳۰ ساعت و دور ۳۰۰ rpm و کوره گذاشته شده در دمای  $200^{\circ}\text{C}$  با اندازه ذره متوسط ۱۰ میکرومتر (۲) پودر منیزیم آسیاکاری با نسبت وزنی گلوله به پودر ۱:۳۰ در زمان ۳۰ ساعت و دور ۳۰۰ rpm و کوره گذاشته شده در دمای  $600^{\circ}\text{C}$  با اندازه ذره متوسط ۱۰ میکرومتر

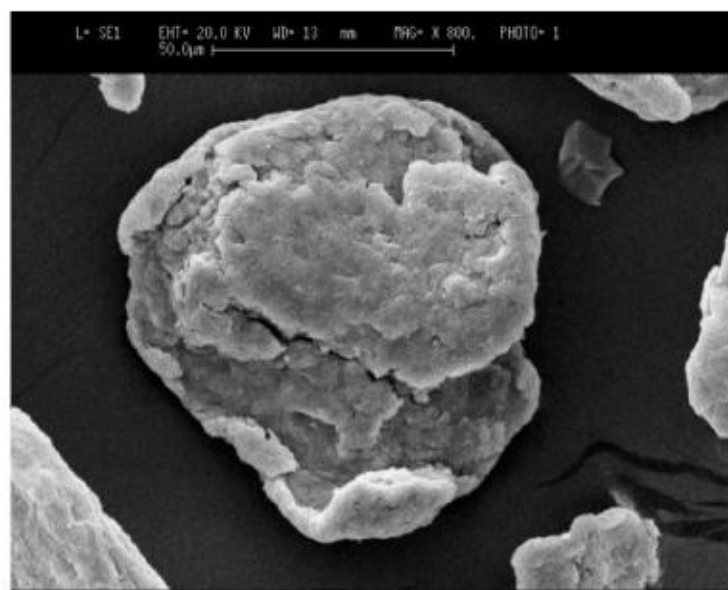


شکل ۴: تصویر میکروسکوب الکترونی رویشی با بزرگ نمایی ۱۰۰ میکرومتر از پودر منیزیم خالص با اندازه ذره متوسط ۱۰ میکرومتر

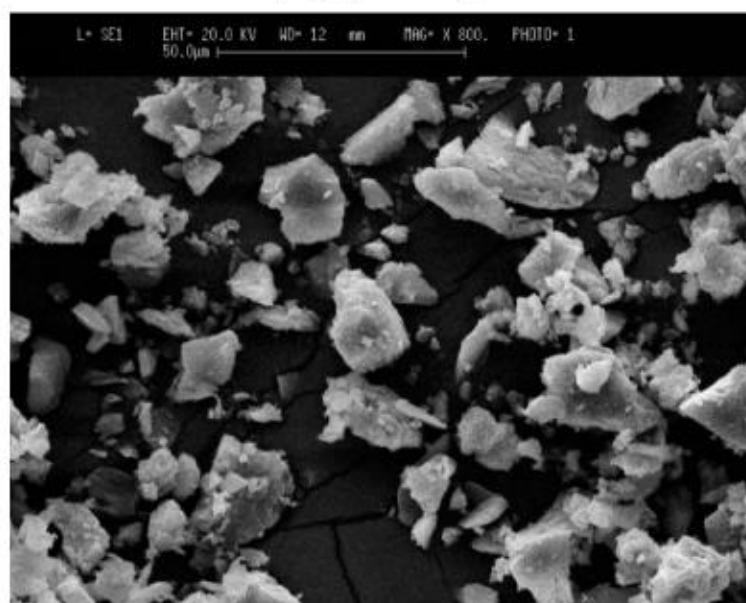


شکل ۵: تصویر میکروسکوب الکترونی رویشی با بزرگ نمایی ۱۰۰ میکرومتر پودر آسیاکاری شده و نسبت وزنی گلوله به پودر ۱:۳۰ به مدت ۳۰ ساعت با دور ۳۰۰ rpm و تحت عملیات پخت با دمای  $200^{\circ}\text{C}$

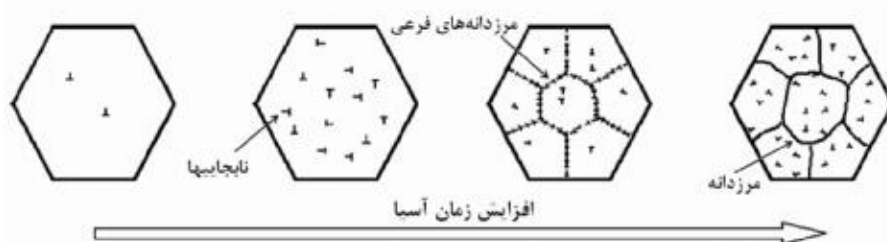
## جلوگیری از اکسیداسیون سطحی ..



شکل ۶: تصویر میکروسکوپ الکترونی روشنی با بزرگ نمایی ۵۰ میکرومتر از پودر متیزیم خالص با اندازه ذره متوسط ۱۰۰ میکرومتر



شکل ۷: تصویر میکروسکوپ الکترونی روشنی با بزرگ نمایی ۵۰ میکرومتر پودر آسیا کاری شده و نسبت وزنی گلوله به پودر ۱:۳۰ به مدت ۳۰ ساعت با دور ۳۰۰ rpm و تحت عملیات پخت با دمای ۲۰۰ °C



شکل ۸: فرآیند ریزدانه شدن ساختار در حین فرآیند آسیا کاری [10]